

УДК 541

**К. В. Шайтан**  
**О. М. Полторак**  
**А. Н. Пряхин**

ВЫЧИСЛЕНИЕ ФАКТОРА  
 ЭФФЕКТИВНОСТИ РЕАКЦИИ НА  
 ПОВЕРХНОСТИ ЦИЛИНДРИЧЕСКОЙ  
 ПОРЫ ДЛЯ ПЕРЕХОДНОЙ ОБЛАСТИ

Вычисление фактора эффективности для гетерогенных реакций представляет интерес по крайней мере с двух точек зрения. Во-первых, это позволяет прогнозировать скорость реакции на поверхностях пористых тел, если известна скорость реакции на единице поверхности и пористость катализатора [1]. Во-вторых, изучение кинетики каталитических реакций часто сопровождается диффузионными эффектами, затрудняющими определение кинетических параметров. Поэтому желательно уметь разделять диффузионные и чисто кинетические эффекты.

Удобной и достаточно правдоподобной моделью для теоретического исследования диффузионных ограничений может служить цилиндрическая пора [2, 3]. Из первого закона Фика следует, что наблюдаемая скорость реакции для половины открытой с обеих концов поры пропорциональна градиенту концентрации в устье поры:

$$v_{\text{н}} = -\pi r^2 D \left( \frac{\partial C}{\partial y} \right)_0, \quad (1)$$

где  $r$  — радиус поры,  $D$  — коэффициент диффузии реагента в поре.

Градиент концентрации в устье поры  $(\partial C / \partial y)_0$  может быть найден из решения уравнения [3, 4]:

$$\frac{\partial^2 C}{\partial y^2} = -\frac{2}{rD} v(C) \quad (2)$$

с граничными условиями

$$C = C_0 \text{ при } y = 0; \quad \frac{\partial C}{\partial y} = 0 \text{ при } y = L,$$

где  $C_0$  — концентрация в устье поры,  $L$  — половина длины поры,  $v(C)$  — скорость реакции на единице поверхности.

Отношение наблюдаемой скорости  $v_{\text{н}}(C_0)$  к максимально возможной скорости  $2\pi r L v(C_0)$  называется фактором эффективности

$$f = -Dr \left( \frac{\partial C}{\partial y} \right)_0 / 2L v(C_0). \quad (3)$$

Отклонение  $f$  от 1 характеризует степень диффузионного торможения скорости реакции.

Фактор  $f$  точно вычислен для реакций нулевого и первого порядков Тиле [2] и Я. Б. Зельдовичем [3]. Трудность вычисления  $f$  в случае произвольных  $v(C)$  обусловлена тем, что решения уравнения (2) не могут быть выражены через элементарные функции. Поэтому в послед-

нее время появились работы по вычислению фактора эффективности путем численного решения уравнения (2) на ЭВМ [5, 6]. Однако использование численных расчетов [5, 6] неудобно при решении обратной задачи: определении параметров  $v(c)$  по известной зависимости  $v_n(C_0)$ . Предложенные рядом авторов решения задачи во внутренней диффузационной области (т. е. при  $f \ll 1$ ) [4, 6, 7] решают этот вопрос лишь отчасти, так как при этом из рассмотрения выпадает практически важная переходная область.

Ниже рассмотрены приближенные решения двух типов. Во-первых, при  $f \sim 1$  исследуется разложение фактора эффективности по степеням параметра Тиле, что позволяет для реакций произвольного порядка исследовать кинетическую и начало переходной области. Во-вторых, исследуется поправочный член к решению во внутренней диффузационной области, что позволяет определить пределы применимости этого решения и захватить часть переходной области. На конкретном примере  $v(c)$  — функции Михаэлиса (или Ленгмюра) показано, что этих приближений практически достаточно, чтобы с необходимой точностью описать диффузационное торможение при любых значениях параметра Тиле.

Перейдем в уравнении (2) к удобным безразмерным переменным:

$$s = \frac{C}{C_0}; \quad z = y/L \quad w(s) = v(C)/v(C_0).$$

При этом получим

$$\frac{d^2s}{dz^2} = \lambda^2 w(s); \quad \begin{cases} s = 1, & z = 0 \\ \frac{ds}{dz} = 0, & z = 1, \end{cases} \quad (2')$$

где

$$\lambda^2 = 2v(C_0)L^2/rDC_0, \quad (4)$$

$\lambda$  — безразмерный параметр, аналогичный параметру Тиле [3]. Величина  $f$  в этих переменных имеет вид:

$$f = -\frac{1}{\lambda^2} \left( \frac{ds}{dz} \right)_{z=0}. \quad (3')$$

При малых  $\lambda$  (т. е. незначительных диффузационных ограничениях) решение уравнения (2) естественно разложить в ряд по степеням  $\lambda^2$ :

$$s(\lambda) = 1 + \gamma \left( \frac{ds}{d\gamma} \right)_{\lambda=0} + \frac{1}{2!} \gamma^2 \left( \frac{d^2s}{d\gamma^2} \right)_{\lambda=0} + \dots, \quad (5)$$

где  $\gamma \equiv \lambda^2$ . Разложив правую часть (2) по степеням  $\lambda^2$

$$w(s) = 1 + \left( \frac{dw}{ds} \right)_{s=1} (s-1) + \frac{1}{2!} \left( \frac{d^2w}{ds^2} \right)_{s=1} (s-1)^2 + \dots \quad (6)$$

и подставив (5) в (6), получим после группировки членов по степеням  $\lambda^2$  уравнение (2) в виде:

$$\begin{aligned} \frac{d^2s}{dz^2} = & \lambda^2 + \lambda^4 \left( \frac{dw}{ds} \right)_{s=1} \left( \frac{ds}{d\gamma} \right)_{\lambda=0} + \lambda^6 \left\{ \frac{1}{2} \left( \frac{dw}{ds} \right)_{s=1} \left( \frac{d^2s}{d\gamma^2} \right)_{\lambda=0} + \right. \\ & + \frac{1}{2} \left( \frac{d^2w}{ds^2} \right)_{s=1} \left( \frac{ds}{d\gamma} \right)_{\lambda=0}^2 \Big\} + \lambda^8 \left\{ \frac{1}{6} \left( \frac{dw}{ds} \right)_{s=1} \left( \frac{d^3s}{d\gamma^3} \right)_{\lambda=0} + \right. \\ & + \frac{1}{6} \left( \frac{d^3w}{ds^3} \right)_{s=1} \left( \frac{ds}{d\gamma} \right)_{\lambda=0}^3 + \left. \left( \frac{d^2w}{ds^2} \right)_{s=1} \left( \frac{d^2s}{d\gamma^2} \right)_{\lambda=0} \left( \frac{ds}{d\gamma} \right)_{\lambda=0} \right\} + \dots \quad (2'') \end{aligned}$$

Далее это уравнение решается методом итераций. В нулевом приближении  $d^2s/dz^2=0$  или  $s^{(0)}=1$ . В этом приближении в уравнении (3) имеем неопределенность типа  $0 \times \infty$ , которая раскрывается следующим приближением:

$$\frac{d^2s}{dz^2} = \lambda^2 \text{ или } s^{(1)} = 1 - \lambda^2 z \left( 1 - \frac{z}{2} \right).$$

Фактор  $f$  при этом равен 1:  $f^{(1)}=1$ .

Дифференцируя  $s^{(1)}$  по  $\lambda^2$  и подставляя в уравнение (2'), получим второе приближение

$$s^{(2)} = 1 - \lambda^2 z \left( 1 - \frac{z}{2} \right) - \lambda^4 \left( \frac{dw}{ds} \right)_{s=1} \left( \frac{z^6}{6} - \frac{z^4}{24} - \frac{z}{3} \right).$$

Это дает поправку порядка  $\lambda^2$  к фактору  $f$ :

$$f^{(2)} = 1 - \frac{1}{3} \lambda^2 \left( \frac{dw}{ds} \right)_{s=1}. \quad (7')$$

Продолжая итерации по четвертую включительно, получим еще два члена разложения  $f$  по степеням  $\lambda^2$ :

$$f \approx 1 - \frac{1}{3} \lambda^2 \left( \frac{dw}{ds} \right)_{s=1} + \frac{2}{15} \lambda^4 \left[ \left( \frac{dw}{ds} \right)_{s=1}^2 + \frac{1}{2} \left( \frac{d^2w}{ds^2} \right)_{s=1} \right] - \\ - \frac{1}{105} \lambda^6 \left[ \frac{17}{3} \left( \frac{dw}{ds} \right)_{s=1}^3 - \frac{8}{3} \left( \frac{dw}{ds} \right)_{s=1} \left( \frac{d^2w}{ds^2} \right)_{s=1} - \left( \frac{d^3w}{ds^3} \right)_{s=1} \right]. \quad (7)$$

(Два первых поправочных члена аналогичного разложения для сферического зерна были получены недавно М. И. Темкиным [8].)

В случае реакций первого порядка формула (7) совпадает с разложением в ряд известной формулы Тиле:

$$f = \frac{th \lambda}{\lambda}.$$

Так как формула (7) описывает переход из кинетической области в переходную область, то из нее можно получить общий критерий протекания реакции в кинетической области (т. е. указать область значений параметров, при которых диффузионными эффектами можно пренебречь). При точности эксперимента  $\sim 100\%$  получаем в качестве критерия соотношение

$$\frac{1}{3} \lambda^2 \left( \frac{dw}{ds} \right)_{s=1} < \delta \quad (8)$$

при условии

$$\left| \left( \frac{dw}{ds} \right)^2 + \frac{1}{2} \left( \frac{d^2w}{ds^2} \right) \right|_{s=1} \ll \frac{5}{2} \frac{1}{\lambda^2} \left| \frac{dw}{ds} \right|_{s=1}, \quad (8')$$

которое указывает на быструю сходимость ряда (7). Второй и третий поправочные члены в (7) могут быть использованы для оценки точности первых двух членов разложения в переходной области.

В качестве примера, проясняющего возможности формулы (7), рассмотрим случай кинетики Михаэлиса — Ментена (или с точностью до смысла параметров — Ленгмюра — Хиншельвуда):

$$v_m(C) = \frac{V_m C}{K_m + C},$$

$$\omega_m(s) = \frac{(1+x_0)s}{1+x_0 s}, \quad (9)$$

где  $x_0 = \frac{C_0}{K_m}$ . Параметр  $\lambda$  имеет вид:

$$\lambda_m = L \sqrt{\frac{2V_m}{rDK_m(1+x_0)}}$$

и

$$f_m \approx 1 - \frac{1}{3} \frac{h_1^2}{(1+x_0)^2} + \frac{2}{15} h_1^4 \frac{1-x_0}{(1+x_0)^4} - \frac{1}{105} \frac{h_1^6}{(1+x_0)^6} \left( \frac{17}{3} + \frac{16}{3} x_0 - 6x_0^2 \right), \quad (10)$$

где  $h_1 = L \sqrt{2V_m/rDK_m}$  параметр Тиле для реакции первого порядка:

$$v(C) = \frac{V_m}{K_m} C.$$

При точности эксперимента 10% критерий кинетической области (8) переходит в

$$h_1 < 0,55(1+x_0) \quad (11)$$

и при  $x_0 \rightarrow 0$  (11) совпадает с критерием Тиле для реакций первого порядка [3].

Как отмечалось выше, формула (11) справедлива при условии сходимости ряда (10). При больших  $x_0$  ряд (10) переходит в

$$f_m \underset{x_0 \gg 1}{\sim} 1 - \frac{1}{x_0} \left( \frac{1}{3} h_0^2 + \frac{2}{15} h_0^4 - \frac{2}{35} h_0^6 + \dots \right), \quad (10')$$

где  $h_0$  — параметр Тиле для реакций нулевого порядка:

$$h_0 = h_1 / \sqrt{x_0} = L \sqrt{\frac{2V_m}{rDC_0}}. \quad (12)$$

Из формулы (10) видно, что при  $h_0 > \sim \sqrt{2}$  члены ряда (10) становятся одного порядка и сходимость нарушается. Из сравнения формул (11) и (12) следует, что при точности 10%, начиная с  $x_0 \sim 7$ , необходимо пользоваться не критерием (11), а критерием:

$$h_0 < \sim \sqrt{2}, \quad (13)$$

совпадающим с аналогичным критерием для реакций нулевого порядка.

Рассмотрим далее поведение фактора  $f$  при больших  $\lambda$ . Известно, что градиент концентраций из уравнения (2) может быть выражен в виде:

$$\frac{ds}{dz} = -\lambda [\varphi(s) - \varphi(s_L)]^{1/2}, \quad (14)$$

где

$$\varphi(s) = 2 \int_0^s w(s) ds,$$

$s_L$  — безразмерная концентрация в центре поры. Таким образом, вычисление градиента концентрации в устье поры (т. е. при  $s=1$ ) сводит-

ся к вычислению концентрации в центре поры  $s_L$ . Чтобы найти  $s_L$  нужно решить дифференциальное уравнение (14) с соответствующим граничным условием  $s(z=0)=1$ . Однако во внутренней диффузионной области  $s_L \ll 1$  и вторым слагаемым в (14) в первом приближении можно пренебречь. Отсюда сразу получаем [4—7]:

$$\left( \frac{ds}{dz} \right)_{z=0} \approx -\lambda \sqrt{\varphi(1)},$$

или

$$f \approx f_\infty = \frac{1}{\lambda} \sqrt{\varphi(1)}, \quad (15)$$

где  $f_\infty$  — внутридиффузионная асимптотика  $f$ . Отметим, что  $f_\infty(\lambda) \geq \geq f(\lambda)$ . И может случиться так, что вычисленное значение  $f_\infty$  будет больше 1. В этом случае формула (15) неприменима, так как система не находится во внутренней диффузионной области.

Получим далее поправку к формуле (15), так как это, с одной стороны, позволит судить о точности данного приближения, а с другой стороны, даст возможность описать переход из внутренней диффузионной области в переходную область. Как видно из (14), искомая поправка связана с оценкой величины  $s_L$ . Из формулы (14) и граничного условия следует, что  $s_L$  удовлетворяет уравнению:

$$\int_{s_L}^1 \frac{ds}{\sqrt{\varphi(s) - \varphi(s_L)}} = \lambda. \quad (16)$$

В грубом приближении  $s_L$  может быть найдено из уравнения:

$$\int_{s_L}^1 \frac{ds}{\sqrt{\varphi(s)}} = \lambda.$$

При этом для кинетики первого порядка мы получили бы  $s_L \sim e^{-\lambda}$ , тогда как правильный результат —  $s_L \sim 2e^{-\lambda}$ . Эта разница обусловлена тем, что в указанном расчете мы пренебрегли вкладом корневой особенности в интеграл (16). Чтобы учесть этот вклад, разобъем область интегрирования на две и аппроксимируем в каждой из них подынтегральное выражение его асимптотикой при  $s \sim s_L$  и  $s \sim 1$  соответственно. Границу между областями интегрирования выберем так, чтобы точность определения интеграла по одной области не превосходила точности определения интеграла по другой области. В результате получим следующее приближенное уравнение для  $s_L$ :

$$\int_{s_L}^1 \frac{ds}{\sqrt{\varphi(s)}} + \frac{0,7}{\sqrt{w(s_L)/s_L}} = \lambda. \quad (17)$$

Решая приближенное уравнение (17) относительно  $s_L$  и подставляя это значение в уравнение

$$f = f_\infty \sqrt{1 - \Delta}, \quad (18)$$

где  $\Delta = \frac{\Phi(s_L)}{\varphi(1)}$ , получим искомую поправку к формуле (15).

В случае кинетики Михаэлиса — Ментена имеем

$$\varphi_m(s) = \frac{2(1+x_0)}{x_0^2} [x_0 s - \ln(1+x_0 s)]$$

и

$$f_{m\infty} = \frac{\sqrt{2}}{h_1} \frac{1+x_0}{x_0} \sqrt{x_0 - \ln(1+x_0)}. \quad (19)$$

Для оценки величины  $s_L$  из уравнения (17) воспользуемся аппроксимацией

$$\sqrt{x_0 - \ln(1+x_0)} \approx \frac{\frac{x_0}{\sqrt{2}}}{\sqrt{1 + \frac{2}{3} x_0}} \quad (x_0 < 10). \quad (20)$$

(Аналогичная численная аппроксимация с несколько иным коэффициентом предлагалась А. Я. Розовским в [9]. Однако коэффициент  $2/3$

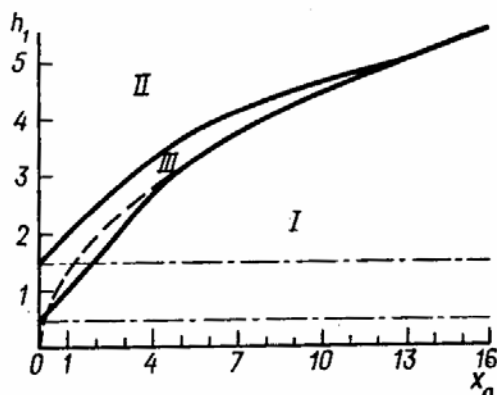


Рис. 1. Границы кинетической (I), внутренней диффузионной (II) и переходной (III) областей в случае кинетики Михаэлиса (Ленгмюра). — — —  $h_1 = \sqrt{2x_0}$  — граница кинетической и внутридиффузионной областей в случае кинетики нулевого порядка; — — — то же в случае кинетики первого порядка

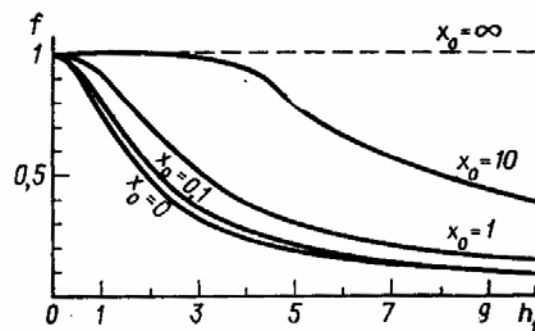


Рис. 2. Зависимость фактора эффективности для кинетики Михаэлиса (Ленгмюра) от параметра Тиле  $h_1$  при различных значениях концентрации в устье поры.  $x_0 = C_0/K_m$

более оправдан, так как при этом достигается большее соответствие рядов в правой и левой части (20)). Численная аппроксимация (20) вполне удовлетворительна до  $x_0 \sim 10$ . Из дальнейшего анализа будет видно, что при больших значениях  $x_0$  искомая поправка не понадобится.

Проводя вычисления с помощью формулы (17), получим приближенную формулу для  $s_L$  при больших  $\lambda$ :

$$s_L \approx \frac{1,6}{x_0} \frac{\sqrt{1 + \frac{2}{3} x_0} - 1}{\sqrt{1 + \frac{2}{3} x_0} + 1} e^2 \sqrt{1 + \frac{2}{3} x_0} e^{-h_1}. \quad (21)$$

При  $x_0 \rightarrow 0$  формула (21) переходит в  $s_L \approx 2e^{-h_1}$ , что соответствует значению  $s_L$  для кинетики первого порядка (таблица).

$x_0$	0	0,33	0,55	1	1,7	2,5	5	6,7	10
$s_L e^{h_1}$	2	2,12	2,3	2,7	3,3	4,2	7	10,6	18,2

Используя формулу (21), определим поправку  $\Delta$  (18):

$$\Delta_m \underset{s_L \ll 1}{\approx} s_L^2 \left( 1 + \frac{2}{3} x_0 \right). \quad (22)$$

При  $\Delta_m < 0,2$ , формула (19) работает с точностью 10%. Этот критерий совместно с формулами (11) и (13) позволяет определить границы кинетической, внутренней диффузионной и переходной областей (рис. 1).

На рис. 2 приведена зависимость фактора эффективности от параметра Тиле  $h_1$ , рассчитанная по формулам (10) и (18)—(21). Эти результаты хорошо согласуются с результатами численных расчетов на ЭВМ [5, 6].

Применение полученных формул к решению обратной задачи: определению  $h_1$  и  $K_m$  по зависимости  $v_n(C_0)$  проведено в следующей статье [10].

#### ЛИТЕРАТУРА

1. Томас Дж., Томас У. Гетерогенный катализ. М., 1969.
2. Thiele F. W. «Ind. Eng. Chem.», 1939, **31**, 916.
3. Зельдович Я. Б. ЖФХ, 1939, **13**, 163.
4. Полторак О. М., Пряхин А. Н., Шайтан К. В. «Вестн. Моск. ун-та. Сер. 2. Химия», 1975, **16**, № 5, 536.
5. Santagati R. V., Tweedale A., Laidler K. I. «Canad. J. Chem.», 1970, **48**, 1498.
6. Hamilton B. K., Gardner C. R., Colton C. K. «AIChE J.», 1974, **20**, 503.
7. Розовский А. Я. «Кинетика и катализ», 1962, **3**, 572.
8. Темкин М. И. «Кинетика и катализ», 1975, **16**, 504.
9. Розовский А. Я., Щекин В. В. «Кинетика и катализ», 1960, **1**, 313.
10. Шайтан В. К., Полторак О. М. «Вестн. Моск. ун-та. Сер. 2. Химия», 1978, **19**, № 4, 489.

Поступила в редакцию  
8.4.1977 г.  
Кафедра  
физической химии

**K. V. Shaitan  
O. M. Poltorak  
A. N. Pryakhin**

CALCULATION OF THE EFFICIENCY FACTOR OF  
REACTION ON THE CYLINDRIC PORE SURFACE  
IN TRANSITION REGION

#### Summary

The asymptotic equations for the efficiency factor have been derived. The corresponding calculations were performed in the case of Michaelis—Menten kinetics.